

Н. М. ШЕХТМАН, Е. А. ВИКТОРОВА, Э. А. КАРАХАНОВ,  
Н. Н. ХВОРОСТУХИНА, Н. С. ЗЕФИРОВ

КОНФОРМАЦИИ И АНОМЕРНЫЙ ЭФФЕКТ В РЯДУ  
2-ЗАМЕЩЕННЫХ ДИГИДРОПИРАНОВ И ХРОМАНОВ

(Представлено академиком О. А. Регутовым 19 VI 1970)

Аномерный эффект — тенденция электроотрицательного заместителя занять аксиальное положение — обнаружен в настоящее время для большинства производных тетрагидропиранов (¹—³), 1,4-диоксанов, 1,4-диоксана (⁴, ⁵) и ряда серусодержащих гетероциклов (⁶). Поскольку структурные особенности модельных соединений в ряде случаев сильно изменяют значение конформационного равновесия, большой интерес представляет сравнительное изучение аномерного эффекта для различных гетероциклических шестичленных систем.

Целью настоящей работы было изучение конформационного равновесия 2-замещенных производных хромана (II) и дигидропирана (III). Конформационное равновесие в этих случаях может быть представлено схемой I:

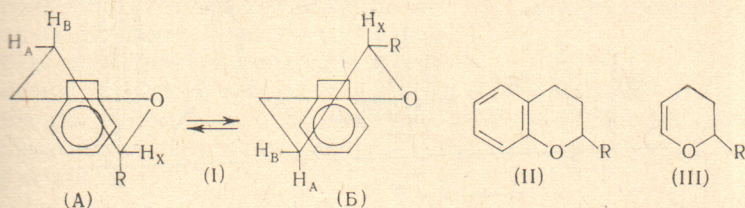


Таблица 1

Данные спектров я.м.р. 2-замещенных хроманов и дигидропиранов

Соединение	R в II или III	Растворитель (10% конц.)	Химический сдвиг сигнала $H_X$ , $\delta (\pm 0,05)$	Вид сигнала $H_X$	$(J_{AX} + J_{BX})$ , Гц $(\pm 0,3)$	$n, \%$
II <sub>a</sub>	CH <sub>3</sub>	CCl <sub>4</sub>	3,8	Мультиплет из 11 линий То же	11,2 *	25 *
		CH <sub>3</sub> CN	4,0		12,8 13,2	15 3,5
II <sub>b</sub>	OCH <sub>3</sub>	CCl <sub>4</sub>	5,0	Триплет »	5,6	95
		CH <sub>3</sub> CN	5,1		5,8	90
II <sub>c</sub>	OC <sub>2</sub> H <sub>5</sub>	CCl <sub>4</sub>	5,0	Триплет »	5,6	95
		CH <sub>3</sub> CN	5,2		5,8	90
II <sub>d</sub>	OH	CCl <sub>4</sub>	5,35	Триплет »	6,4	85
		CH <sub>3</sub> CN	5,5		6,6	80
II <sub>e</sub>	OCOCH <sub>3</sub>	CCl <sub>4</sub>	6,35	Триплет »	5,6	95
		CH <sub>3</sub> CN	6,4		5,6	95
III <sub>a</sub>	OCH <sub>3</sub>	CCl <sub>4</sub> **	4,7	Триплет »	5,6	95
		CH <sub>3</sub> CN	4,6		5,9	90
III <sub>b</sub>	OC <sub>2</sub> H <sub>5</sub>	CCl <sub>4</sub>	4,92	Триплет »	5,8	90
		CH <sub>3</sub> CN	5,0		6,0	90

\* Из экспериментов по двойному резонансу ( $J \pm 0,6$  Гц) и с интерпретацией по первому приближению (см. текст).

\*\* На приборе 100 Мгц.

В этом случае сигнал протона при  $C_2$  можно рассматривать как X-часть системы  $ABX$ , что, в свою очередь, дает возможность оценить положение конформационного равновесия, исходя из значения  $|J_{AX} + J_{BX}|$ . Изученные соединения приведены в табл. 1. Спектры я.м.р. 2-метилхромана и 2-этоксидигидропирана приведены на рис. 1.

Как видно из рис. 1A, сигнал протона при  $C_2$  в спектре 2-метилхромана IIa представляет собой симметричный сигнал из 11 линий, с шириной по

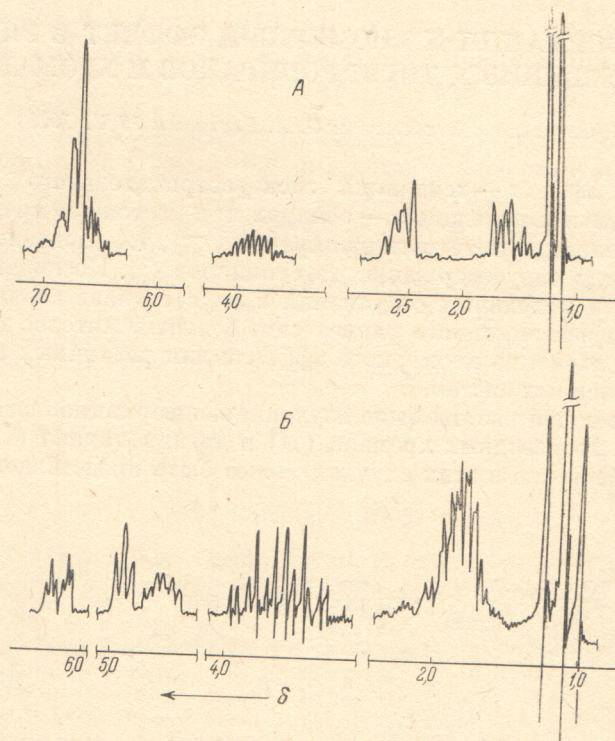


Рис. 1. Спектры я.м.р 2-метилхромана (A) и 2-этокси- $\Delta^5$ -дигидропирана (B)

крайним пикам 30,8 гц. Интерпретация первого порядка этого сигнала как X-части  $ABM_3X$ -системы ( $J_{AM} = J_{BM} = 0$ ) дает для величины  $|J_{AX} + J_{BX}|$  значение 12,8 гц. При развязке протонов метильной группы с помощью двойного резонанса сигнал X-части превращается в квадруплет с шириной по крайним пикам  $11,2 \pm 0,6$  гц.

Для соединений IIб — д и IIIа, б сигнал протона при  $C_2$  является триплетом, что видно из рис. 1Б. Триплетная структура сигнала может быть обусловлена как равенством констант  $J_{AX}$  и  $J_{BX}$ , так и малой величиной  $\delta_A - \delta_B$ . Для 2-оксихромана IIг в принципе возможна кольчатоцепная таутомерия. Однако по данным и.к. спектров и спектров я.м.р. альдегидная форма практически отсутствует, что согласуется с литературными данными для оксипроизводных других гетероциклов (7). Нами специально было показано, что ширина триплета сигнала аномерного протона для оксихромана IIг не зависит от концентрации (изучены 5, 10, 20 и 60% растворы в  $CCl_4$  и  $CH_3CN$ ).

Отметим также, что протоны  $-\text{OCH}_2-$ -группы для этоксигруппы хромана IIв и дигидропирана IIIб являются диастереотопными, что приводит к усложнению спектра. Как видно из рис. 1Б, сигнал метиленовых протонов этоксигруппы состоит, по крайней мере, из 14 линий. Это отмечалось также и для алкоксипроизводных других гетероциклов (8, 9).

Положение конформационного равновесия можно оценить по величине  $|J_{AX} + J_{BX}|$  по уравнению:

$$|J_{AX} + J_{BX}| = n \Sigma J^{IA} + (1 - n) \Sigma J^{IB} = n (J_{aa}^{IA} + J_{ee}^{IA}) + (1 - n) (J_{aa}^{IB} + J_{ae}^{IB}),$$

где  $n$  — доля конформации IА в равновесии.

Значения  $|J_{AX} + J_{BX}|$  приведены в табл. 1. Наибольшие трудности при таком подходе заключаются в выборе стандартных значений констант спин-спинового взаимодействия  $J_{aa}$ ,  $J_{ae}$  и  $J_{ee}$ , которые зависят как от геометрии молекулы, так и от электроотрицательности заместителя. Для производных циклогексена и дигидропирана значения констант изменяются в пределах  $J_{aa} = 10\text{--}12$ ,  $J_{ae} = 2\text{--}3,5$  и  $J_{ee} = 1,5\text{--}3$  Гц. Мы оценили положение конформационного равновесия с использованием «средних» значений констант  $J_{aa} = 11$ ,  $J_{ae} = 2,5$  и  $J_{ee} = 2,5$  Гц (набор а). Полученные данные приведены в табл. 1 и на рис. 2.

Нетрудно показать, что увеличение любой стандартной константы приводит к уменьшению параметра  $n$ . Поэтому, принимая  $J_{aa} = 12$  Гц,  $J_{ae}^{IA} = J_{ae}^{IB} = 3,5$  Гц (набор б), можно оценить максимальное значение параметра  $n$ . С другой стороны, как видно из формул В и Г,  $J_{aa}^{IA}$  меньше, чем  $J_{ae}^{IB}$ , поскольку электроотрицательное влияние заместителя на величину  $J$  наиболее сильно оказывается при транс-антипаралльном расположении. Поэтому, принимая  $J_{aa} = 10$ ,  $J_{ae}^{IA} = 2,0$ ,  $J_{ae}^{IB} = 1,5$  Гц, можно оценить минимальную границу параметра  $n$  (набор в). Зависимость  $n$  от экспериментального значения  $|J_{AX} + J_{BX}|$  при различных наборах  $J$  показана на рис. 2.

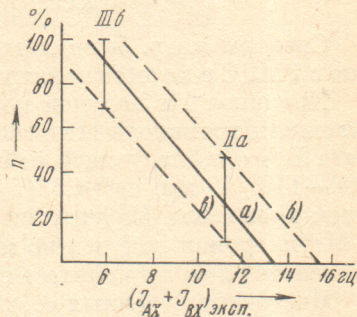
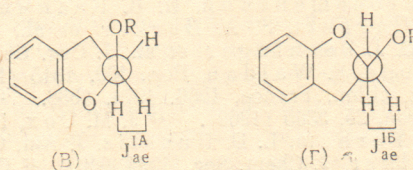


Рис. 2. Зависимость  $n$  от  $|J_{AX} + J_{BX}|_{\text{эксп.}}$  при различных наборах стандартных констант спин-спинового взаимодействия

$J_{ae}^{IA} = 2,0$ ,  $J_{ae}^{IB} = 1,5$  Гц,  $|J_{AX} + J_{BX}|$  при различных наборах  $J$



В спектре я.м.р. самого хромана (II, R-H) сигнал протонов при  $C_2$  является триплетом с расстоянием между крайними пиками 10,4 Гц. Поскольку этот сигнал можно рассматривать как  $XX'$ -часть системы  $AA'XX'$ , то  $N = J_{AX} + J_{AX'} = 10,4$  Гц. С учетом конформационного равновесия  $N = J_{\text{транс}} + J_{\text{дис}} = \frac{1}{2}(J_{aa} + J_{ee}) + \frac{1}{2}(J_{ae} + J_{ea})$ . При подстановке набора в)  $N = 11$  Гц, что больше экспериментального значения. Это показывает, что набор б) действительно оценивает максимальную границу параметра  $n$ . При подстановке набора а)  $N = 9,25$  Гц. Эта величина несколько меньше экспериментально наблюдаемой для хромана. Однако, поскольку этот набор применяется для оценки конформаций производных с электроотрицательными заместителями, такое занижение является разумно обоснованным. Набор в) дает  $N = 7,51$  Гц, много меньшую экспериментально найденной для хромана. Очевидно, что в силу подобия геометрии этот набор констант применим и для соединений IIIа, б.

Как видно из данных табл., 1, 2-метилхроман IIa имеет преимущественную экваториальную конформацию, что находится в соответствии с данными других гетероциклов (8, 9). Из этой же таблицы видно, что для всех остальных соединений наблюдается отчетливый аномерный эффект, при этом доля аксиальной конформации очень велика и составляет 85—95%.

Эти результаты согласуются с данными по конформационному равновесию 2-бутоксидигидропирана (<sup>1</sup>) и этоксинафтодигидропирана (<sup>10</sup>). Оксихроман IIг также существует преимущественно в аксиальной форме. Хотя аналогичных данных в литературе нет, однако аномерный эффект наблюдался для насыщенных оксипроизводных тетрагидропирана (<sup>1, 11</sup>) и тетрагидротиопирана (<sup>12</sup>). Замена неполярного растворителя полярным ( $\text{CCl}_4 \rightarrow \text{CH}_3\text{CN}$ ) обычно приводит к уменьшению доли аксиального конформера. Однако в изученных примерах изменение ширины сигнала практически находится в пределах ошибки опыта.

### Экспериментальная часть

Спектры я.м.р. были сняты на приборе Varian-T-60 в виде 10% растворов с ГМДС в качестве внутреннего стандарта.

Хроманол IIг получен по методу (<sup>13</sup>). Соединения IIб, в получены кипячением хроманола IIг с соответствующими спиртами в присутствии эфира  $\text{BF}_3$  с последующей нейтрализацией и перегонкой. (IIб имеет т. кип. 109—110°/15 мм,  $n_D^{20}$  1,5315,  $d_4^{20}$  1,036). Ацетат IIд получен ацетилированием хроманола IIг уксусным ангидридом в пиридине по методу (<sup>13</sup>). 2-Метилхроман получен по методу (<sup>14</sup>). Дигидропираны IIIа и б получены на основе диенового синтеза по методике (<sup>15</sup>).

Чистота полученных соединений контролировалась методом г.ж.х., элементарного анализа и и.-к. спектроскопией. Все полученные вещества имеют хорошие анализы на С и Н.

Московский государственный университет  
им. М. В. Ломоносова

Поступило  
16 VI 1970

### ЦИТИРОВАННАЯ ЛИТЕРАТУРА

- <sup>1</sup> Н. С. Зефиров, Н. М. Шехтман, ДАН, **180**, 1363 (1968). <sup>2</sup> С. В. Anderson, D. T. Sepp, J. Org. Chem., **33**, 3272 (1968). <sup>3</sup> E. L. Eliel, C. A. Giza, J. Org. Chem., **33**, 3754 (1968). <sup>4</sup> Н. С. Зефиров, М. А. Федоровская, Журн. орг. хим., **5**, 158 (1969). <sup>5</sup> G. Pfundt, S. Farid, Tetrahedron, **22**, 2237 (1966). <sup>6</sup> Н. С. Зефиров, В. С. Благовещенский, И. В. Казимирчик, Журн. орг. хим., **5**, 4150 (1969). <sup>7</sup> N. Baggett, S. A. Barker et al., J. Chem. Soc., **1960**, 4565. <sup>8</sup> E. E. Schweizer, C. J. Berninger et al., J. Org. Chem., **34**, 207 (1969). <sup>9</sup> F. Bohlmann, K. M. Rode, E. Waldau, Ber., **100**, 1915 (1967). <sup>10</sup> J. Brugidou, H. Gristol, Bull. Soc. chim., France, **1966**, 1974, 2688. <sup>11</sup> A. J. de Hoog, H. B. Buys et al., Tetrahedron, **25**, 3365 (1969). <sup>12</sup> J. M. Cox, I. N. Owen, J. Chem. Soc., **1967**, 1130. <sup>13</sup> W. E. Parham, L. D. Huestis, J. Am. Chem. Soc., **84**, 813 (1962). <sup>14</sup> W. Barker, J. Walker, J. Chem. Soc., **1935**, 646. <sup>15</sup> C. W. Smith, D. G. Norton, S. A. Ballard, J. Am. Chem. Soc., **73**, 5267 (1951).